

УДК 539.186.1

## ИССЛЕДОВАНИЕ ПРОЦЕССОВ ВОЗБУЖДЕНИЯ В ПРОТЯЖЕННОМ ДИОДЕ

### II. ПРОЦЕССЫ ВОЗБУЖДЕНИЯ И РАЗРУШЕНИЯ УРОВНЕЙ

*M. K. Дятлов, Ю. Н. Куликов, Е. П. Остапченко и В. А. Степанов*

В плоском протяженном диоде проведено исследование процессов возбуждения и разрушения ряда уровней неона. Установлено, что большинство  $2p$  уровней неона возбуждается преимущественно вследствие ступенчатых, а уровни  $3s$ ,  $4s$ ,  $5d$  и другие вследствие прямых соударений с электронами. Определены сечения ступенчатого возбуждения уровней  $2p$  и сечения ступенчатой ионизации с более высоких уровней.

#### Методика эксперимента

В разрядной трубке, описанной в первой части статьи, проведены измерения как распределения и концентрации электронов, так и абсолютной интенсивности, коэффициента поглощения многих линий неона, рассчитаны заселенности уровней  $1s_{2-5}$ . Давление неона 4 мм рт. ст. под-

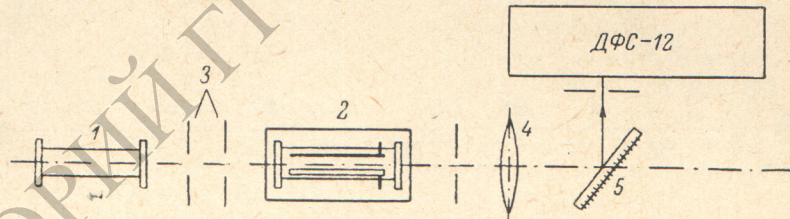


Рис. 1. Блок-схема установки для измерения коэффициента поглощения и абсолютной интенсивности линий.

1 — дополнительный источник, 2 — исследуемый диод, 3 — диафрагма, 4 — коллимирующая линза, 5 — поворотное зеркало.

держивалось неизменным. Плотность тока и анодное напряжение изменились в пределах 0—120 мА/см<sup>2</sup> и 20—30 в соответственно.

Коэффициент поглощения и абсолютная интенсивность линий изменились на установке, блок-схема которой приведена на рис. 1. Свет от источника 1, диаметром 20 и длиной 150 мм, ширина пучка которого ограничивалась диафрагмами 3 до 6 мм, проходил через исследуемую трубку 2, коллимирующую линзу 4, на поворотное зеркало 5, попадал на входную щель спектрометра ДФС-12 и регистрировался милливольтметром М-193 с одновременной записью на потенциометре ЭПП-09. Для измерения коэффициента поглощения, абсолютной интенсивности и заселенности уровней по сечению исследуемый диод закреплялся на столике, который мог перемещаться строго параллельно оптической оси установки с помощью микрометрического винта. Параллельность плоскости катода оптической оси установки выставлялась с помощью газового лазера. Давление неона и плотность тока в дополнительном источнике 1 поддер-

живались такими, чтобы температура газа и, следовательно, контуры спектральных линий в обеих трубках были идентичными, что позволяло применять метод поглощения для измерения реабсорбции на линиях неона.

### Результаты эксперимента и их обсуждение

Измерены абсолютные интенсивности большинства линий переходов  $2p - 1s$  и линий 4433, 4715, 5037, 4837 Å и т. д. с более высоких энергетических уровней неона. По измеренным коэффициентам поглощения на многих линиях переходов  $2p - 1s$  определены заселенности на уровнях  $1s_{2-5}$ . Некоторые из результатов исследований представлены на рис. 2—4.

На рис. 2 представлены зависимости концентрации возбужденных атомов на уровнях  $1s_{2-5}$  при напряжении 25 в от плотности тока разряда. Анализ результатов показывает на существование между уровнями  $1s$  значительного перемешивания. Обращают на себя внимание большие абсолютные значения заселенности на уровнях  $1s$ , достигающие в условиях эксперимента значений, близких к  $10^{12} \text{ см}^{-3}$ , что значительно превышает величины концентрации атомов на этих уровнях в положительном столбе разряда для трубок малого диаметра.

При составлении уравнения баланса и сравнении чисел возбуждений и чисел квантов данные по электрическим параметрам разряда и сечениям возбуждения использовались из первой части работы и из [1-3].

Исследование электрических параметров разряда показали, что концентрация быстрых и медленных электродов изменяется в условиях эксперимента соответственно в диапазонах  $10^8 - 10^9 \text{ см}^{-3}$  и  $10^{10} - 10^{11} \text{ см}^{-3}$ .

Вследствие существования двух резко выраженных и далеко отстоящих друг от друга групп электронов полное распределение электронов по скоростям  $F(v)$  можно разделить на распределение медленных электронов  $f(v)$  и распределение монокинетической группы электронов  $\delta(v - v_\delta)$ , где  $v_\delta$  — скорость быстрых электронов.

При этом для полной концентрации электронов справедливо соотношение

$$n_e = \int_0^\infty n_e F(v) dv = \int_0^\infty n_{eM} f(v) dv + \int_0^\infty n_{eB} \delta(v - v_\delta) dv, \quad (1)$$

где  $n_{eM}$  и  $n_{eB}$  — концентрация медленных и быстрых электронов.

Для чисел прямых электронных возбуждений уровней неона можно записать

$$Z_{\text{пр.}} = n_0 \sqrt{\frac{2e}{m}} \int_{U_a}^\infty n_e F(eU) Q_{ok}(eU) \sqrt{U} dU. \quad (2)$$

Учитывая (1) и то, что медленные электроны не могут возбуждать неон прямым электронным ударом, получим

$$Z_{\text{пр.}} = n_0 n_{eB} \sqrt{\frac{2e}{m}} U_\delta Q_{ok}(eU_\delta). \quad (3)$$

Числа ступенчатых возбуждений уровней неона вследствие соударений электронов с атомами на уровнях  $1s$  определяются для прикатодной области разряда из следующего выражения:

$$Z_{\text{ст.}} = n_s \sqrt{\frac{2e}{m}} \int_{U_a - U_s}^{\infty} n_e F(eU) q_{ik}(eU) \sqrt{U} dU = n_s n_{eM} \sqrt{\frac{2e}{m}} \int_{U_a - U_s}^{\infty} f(eU) q_{ik}(eU) \sqrt{U} dU + \\ + n_s n_{eB} \sqrt{\frac{2e U_0}{m}} q_{ik}(eU_0). \quad (4)$$

Так как сечение ступенчатого возбуждения  $q_{ik}(eU)$  уровней неона имеет максимум в области малых энергий электронов (например, для уровня  $2p$  при 4.9 эВ [1]) и при увеличении энергии резко уменьшается,

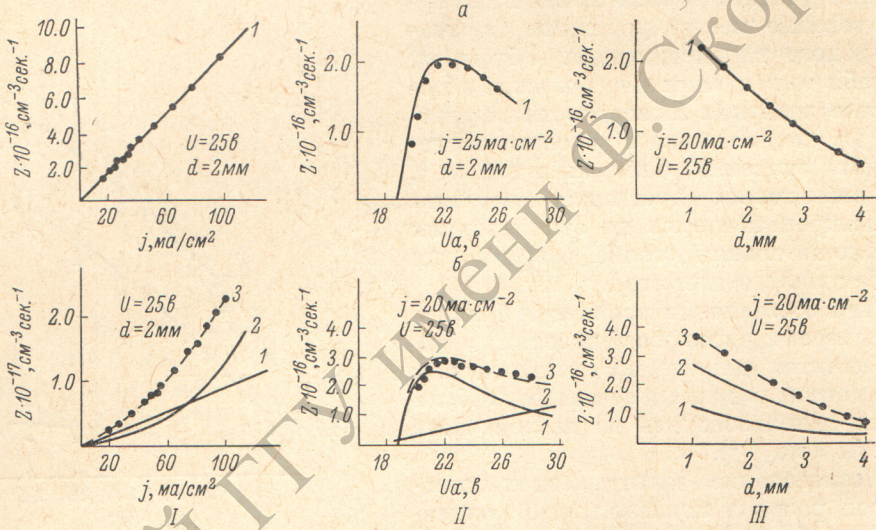


Рис. 3. Зависимость чисел квантов (экспериментальные точки) и чисел прямых (1) и ступенчатых (2) возбуждений и их суммы (3) для уровней  $2p_1$  (а) и  $2p_4$  (б) от плотности тока (I), напряжения (II) и расстояния от катода (III).

то в ряде случаев, в частности для уровней  $2p$  неона, при исследуемом диапазоне токов, напряжений разряда и давлений газа, когда  $n_{eM} \gg n_{eB}$ , первый член в выражении (4) много больше второго и соотношение (4) преобразуется к виду

$$Z_{\text{ст.}} \approx n_s n_{eM} \sqrt{\frac{2e}{m}} \int_{U_a - U_s}^{\infty} f(eU) q(eU) \sqrt{U} dU. \quad (5)$$

Таким образом, пренебрежимо малое число электронов с промежуточными значениями энергии обуславливает то, что быстрые электроны возбуждают прямым образом, а медленные ответственны за ступенчатые процессы.

Обратимся к рассмотрению заселения уровня  $2p$  неона. На рис. 3 приведены результаты сравнения чисел возбуждений и чисел квантов для уровней  $2p_1$  и  $2p_4$ . Для уровня  $2p_1$  при всех изменениях плотности тока, напряжения и расстояния от катода наблюдается хорошее совпадение чисел прямого возбуждения и чисел квантов. Это говорит о том, что уровень  $2p_1$  возбуждается в основном вследствие прямых электронных соударений.

Для уровня  $2p_4$  число квантов равно сумме чисел прямых и ступенчатых возбуждений. Аналогичные зависимости от плотности тока, напряжения и расстояния наблюдаются и для других уровней  $2p$ . Это показывает, что все уровни  $2p$  неона, за исключением  $2p_1$  уровня, в прикатодной обла-

сти разряда возбуждаются как вследствие прямых, так и ступенчатых соударений. При малых токах и напряжениях преобладает прямое электронное возбуждение, а при увеличении тока и напряжения основную роль начинают играть ступенчатые соударения электронов с атомами, находящимися на уровнях  $1s$ .

Существование четкого разделения между прямыми и ступенчатыми возбуждениями позволило с малыми погрешностями определить сечения ступенчатых возбуждений для уровней  $2p_{2-10}$  и сравнить значения этих сечений с известными в литературе (табл. 1).

Видно, что сечения, измеренные в настоящей работе, практически совпадают со значениями, полученными в работе [2].

Вследствие того что в разряде мало электронов с энергией 3.5—4 эв, роль ступенчатого возбуждения верхних уровней неона  $3s_2, 4s_4, 5d_4$  и т. д. очень мала и они возбуждаются преимущественно за счет прямых электронных соударений. Зависимости чисел квантов для линий с этих уровнями от плотности тока разряда представлены на рис. 4. Видно, что зависимость чисел квантов для линий с высоко расположенными верхними уровнями стремится к насыщению уже при плотности тока  $j=80-100 \text{ мА/см}^2$ .

Уравнение баланса для этих уровней имеет вид

$$Z_{\text{пр.}} = N_{\text{кв.}} + \Delta N, \quad (6)$$

где  $\Delta N$  — число безызлучательных переходов с высокоэнергетических уровней, сильно зависящее от тока разряда.

Так как безызлучательные переходы с высокоэнергетических уровней осуществляются, вероятно, вследствие ступенчатой ионизации неона с этих уровняй, то нетрудно из соотношения

$$\Delta N = n_{\text{ем}} n_a \sqrt{\frac{2e}{m}} \int_{U_i - U_a}^{\infty} f(eU) q_{kj}(eU) \sqrt{U} dU \quad (7)$$

Таблица 1

Значения эффективных сечений ступенчатого возбуждения  
 $2p$  уровней неона  $q_{ik} \cdot 10^{16} \text{ см}^2$

	$2p_1$	$2p_2$	$2p_3$	$2p_4$	$2p_5$	$2p_6$	$2p_7$	$2p_8$	$2p_9$	$2p_{10}$
Вычисленные значения	—	5.0	4.0	7.0	4.0	14	5.0	—	10	—
Значения сечений, измеренных в [2]	9.3	6.5	1.7	8.3	5.4	10	3.5	5.5	9.1	4.3

определить сечение ступенчатой ионизации  $q_{kj}(eU)$  с верхних уровней неона.

Значения сечений ступенчатой ионизации с уровнями  $3s_2, 4s_4, 5d_4$  и т. д. приведены в табл. 2. Обращают на себя внимание большие значения сечений ступенчатой ионизации, приближающиеся к величине  $10^{-12} \text{ см}^2$ .

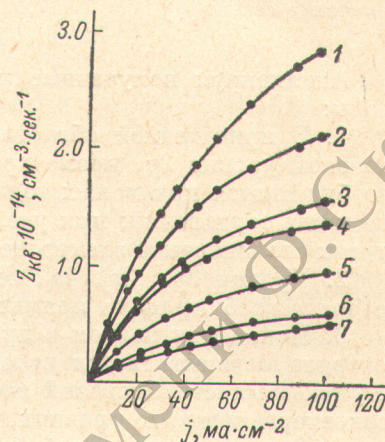


Рис. 4. Зависимость чисел квантов для линий с верхних возбужденных уровней неона от плотности тока разряда.

Напряжение 25 в. Расстояние от катода 2 мм. Длина волны, Å: 1 — 5037, 2 — 5433, 3 — 5222, 4 — 4704, 5 — 4880, 6 — 4788, 7 — 4752.

Таблица 2

Значения эффективных сечений ступенчатой ионизации некоторых верхних уровней неона  $q_{k,j} \cdot 10^{13} \text{ см}^2$

	$5d_3$	$6d_4$	$5s_5$	$4s_5$	$5d_4$	$4s_2$	$3s_2$
Потенциал возбуждения, эв	21.01	21.18	21.14	20.94	20.01	20.95	20.66
Значение сечений	7.0	9.0	5.0	7.0	3.0	6.0	5.0

Анализируя полученные результаты, можно сделать следующие выводы:

1. В прикатодной области разряда протяженного диода с оксидным катодом уровни  $2p$ , кроме уровня  $2p_1$ , при исследуемых давлениях газа возбуждаются при малых токах и напряжениях вследствие прямых электронных соударений; при увеличении тока и напряжения за счет ступенчатых столкновений электронов с атомами на уровнях  $1s$ .
2. Уровни  $2p_1$ ,  $3s_2$ ,  $4s_4$ ,  $5d_4$  и т. д. при всех исследуемых условиях разряда возбуждаются прямым электронным ударом.
3. Ионизация неоном в прикатодной области и исследуемых условиях разряда осуществляется вследствие прямых электронных соударений и ступенчатых столкновений электронов с атомами, находящимися на высокоэнергетических уровнях.
4. Сечение ступенчатой ионизации с уровней  $3s_2$ ,  $4s_4$ ,  $5d_4$  и т. д. равно  $10^{-13}$ — $10^{-12} \text{ см}^2$ .

#### Литература

- [1] В. С. Кривченкова, А. Д. Хахаев. Электронная техника, сер. 3, газоразрядные приборы, № 1, 3, 1969.
- [2] С. Э. Фриш, В. Ф. Ревалд. Опт. и спектр., 15, 726, 1963.
- [3] И. П. Запесочный, П. В. Фельцан. Ж. прикл. спектр., 6, 111, 1967.

Поступило в Редакцию 5 февраля 1970 г.